



650V GaN FET in PQFN (source tab)

产品说明

GSR065D013系列 650V、150mΩ 氮化镓 (GaN) FET 为常关型器件。它通过结合最先进的高压 GaNHEMT 与低压硅 MOSFET来提供卓越的安全可靠性。

通过更低的栅极电荷、更低的交叉损耗和更小的反向恢复电荷提供比硅更高的效率。

产品特征

- 通过JEDEC认证的氮化镓技术
- 动态导通电阻生产测试
- 安全稳健的设计
 - 固有寿命测试
 - 宽栅安全裕度
 - 瞬态过压能力
- 极低的 Q_{RR}
- 减少交叉损耗
- 符合 RoHS 标准且无卤素封装

订购信息

Part Number	Package	Package Configuration
GSR065D013A	8x8mm PQFN	Source

产品优点

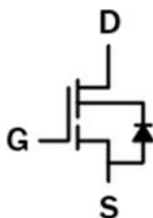
- 提高硬开关和软开关电路的效率
- 提高功率密度
- 减小系统尺寸和重量
- 整体系统成本更低
- 使用常用的栅极驱动器易于驱动
- GSD引脚布局改进

* 产品应用

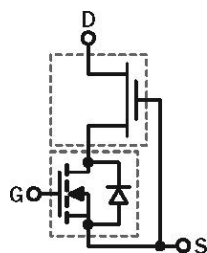
- 消费电子
- 电源适配器
- 小功率开关电源
- 照明



GSR065D013A
PQFN
(top view)



Cascode 示意图符号



Cascode 器件结构

主要规格

V_{DS} (V) min	650
$V_{DSS(TR)}$ (V) max	800
$R_{DS(on)}$ (mΩ) max*	180
Q_{RR} (nC) typ	40
Q_G (nC) typ	8

*动态电阻：请参见图18和图19

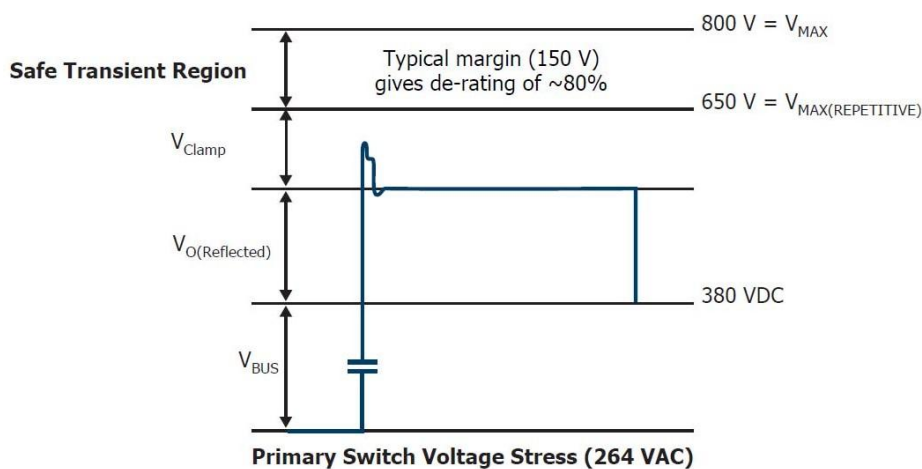


绝对最大额定值 (T_C=25°C 除非另有说明)

Symbol	Parameter	Limit Value	Unit
V _{DSS}	Drain to source voltage (T _J = -55°C to 150°C)	650	V
V _{DSS(TR)}	Transient drain to source voltage ^a	800	
V _{GSS}	Gate to source voltage	±20	
P _D	Maximum power dissipation @T _C =25°C	52	W
I _D	Continuous drain current @T _C =25°C ^b	13	A
	Continuous drain current @T _C =100°C ^b	8.4	A
I _{DM}	Pulsed drain current (pulse width: 10μs)	60	A
T _C	Operating temperature	Case	-55 to +150 °C
T _J		Junction	-55 to +150 °C
T _S	Storage temperature	-55 to +150	°C
T _{SOLD}	Reflow soldering temperature ^c	260	°C

Notes:

- 在关断状态下, 峰值占空比D < 0.01, 峰值持续时间为30m秒, 不重复
- 为了提高高电流操作下的稳定性, 请参见第 3 页上的电路实现
- 回流焊 MSL3



热阻

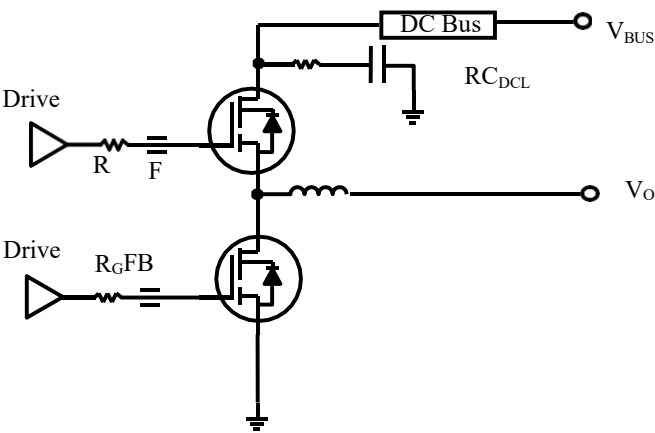
Symbol	Parameter	Typical	Unit
R _{ΘJC}	Junction-to-case	2.4	°C/W
R _{ΘJA}	Junction-to-ambient ^d	50	°C/W

Notes:

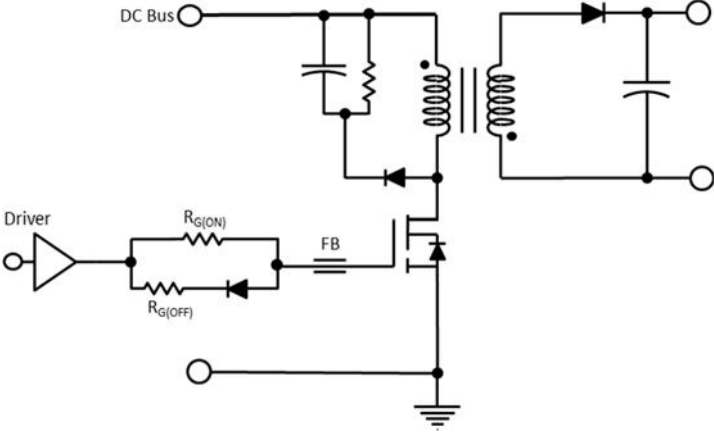
- 用于漏极连接的一层环氧树脂 PCB 上的器件 (垂直且无气流冷却, 铜面积为 6cm², 厚度为 70μm)



电路实现



简化的半桥示意图



简化的单端原理图

推荐的栅极驱动: (0V,10V), $R_{G(tot)}=70\Omega^a$

推荐的栅极驱动: (0V, 12V), $R_{G(ON)} = 100 - 300 \Omega$
 $R_{G(OFF)} = 0 - 15 \Omega$

Gate Ferrite Bead (FB)	Required DC Link RC Snubber (RC_{DCL}) ^b
240Ω @ 100MHz	4.7nF + 2.5Ω

Notes:
a. 仅用于桥式拓扑, R_G 在单端拓扑中要小得多
b. RC_{DCL} 应尽可能靠近漏极引脚



电气参数 (T_J=25°C 除非另有说明)

Symbol	Parameter	Min	Typ	Max	Unit	Test Conditions
Forward Device Characteristics						
V _{DSS(BL)}	Maximum drain-source voltage	650	—	—	V	V _{GS} =0V
V _{GS(th)}	Gate threshold voltage	3.3	4	4.8	V	V _{DS} =V _{GS} , I _D =0.5mA
ΔV _{GS(th)} /T _J	Gate threshold voltage temperature coefficient	—	-5.8	—	mV/°C	
R _{DS(on)eff}	Drain-source on-resistance ^a	—	150	180	mΩ	V _{GS} =10V, I _D =8.5A, T _J =25°C
		—	307	—		V _{GS} =10V, I _D =8.5A, T _J =150°C
I _{DSS}	Drain-to-source leakage current	—	2.5	25	μA	V _{DS} =650V, V _{GS} =0V, T _J =25°C
		—	10	—		V _{DS} =650V, V _{GS} =0V, T _J =150°C
I _{GSS}	Gate-to-source forward leakage current	—	—	100	nA	V _{GS} =20V
	Gate-to-source reverse leakage current	—	—	-100		V _{GS} =-20V
C _{ISS}	Input capacitance	—	598	—	pF	V _{GS} =0V, V _{DS} =400V, f=1MHz
C _{OSS}	Output capacitance	—	30	—		
C _{RSS}	Reverse transfer capacitance	—	1	—		
C _{O(er)}	Output capacitance, energy related ^b	—	43	—	pF	V _{GS} =0V, V _{DS} =0V to 400V
C _{O(tr)}	Output capacitance, time related ^c	—	85	—		
Q _G	Total gate charge	—	8	—	nC	V _{DS} =400V, V _{GS} =0V to 10V, I _D =8.5A
Q _{GS}	Gate-source charge	—	3.3	—		
Q _{GD}	Gate-drain charge	—	2	—		
Q _{OSS}	Output charge	—	34	—	nC	V _{GS} =0V, V _{DS} =0V to 400V
t _{D(on)}	Turn-on delay	—	37.8	—	ns	V _{DS} =400V, V _{GS} =0V to 12V, I _D =10A, R _G =70Ω, Z _{FB} =240Ω at 100MHz (See Figure 14)
t _R	Rise time	—	5.2	—		
t _{D(off)}	Turn-off delay	—	48	—		
t _F	Fall time	—	8	—		

Notes:

- 动态导通电阻；有关测试电路和条件，条件见图18和图19
- 当V_{DS}从0V上升到400V时，提供相同存储能量的等效电容
- 当V_{DS}从0V上升到400V时，提供相同充电时间的等效电容



电气参数($T_J=25^{\circ}\text{C}$ 除非另有说明)

Symbol	Parameter	Min	Typ	Max	Unit	Test Conditions
Reverse Device Characteristics						
I_S	Reverse current	—	—	8.3	A	$V_{GS}=0V$, $T_C=100^{\circ}\text{C}$, $\leq 20\%$ duty cycle
V_{SD}	Reverse voltage ^a	—	2.4	—	V	$V_{GS}=0V$, $I_S=10A$
		—	1.6	—		$V_{GS}=0V$, $I_S=5A$
t_{RR}	Reverse recovery time	—	31	—	ns	$I_S=10A$, $V_{DD}=400V$, $di/dt=1000A/ms$
Q_{RR}	Reverse recovery charge	—	40	—	nC	



典型特性 ($T_c=25^{\circ}\text{C}$ 除非另有说明)

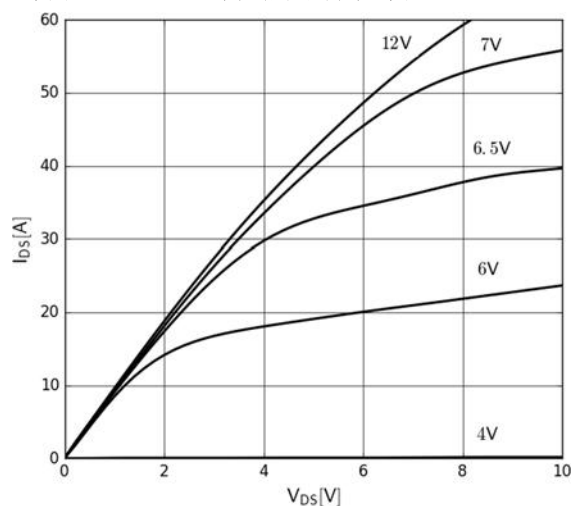


图1. 典型输出特性 $T_J=25^{\circ}\text{C}$

Parameter: V_{GS}

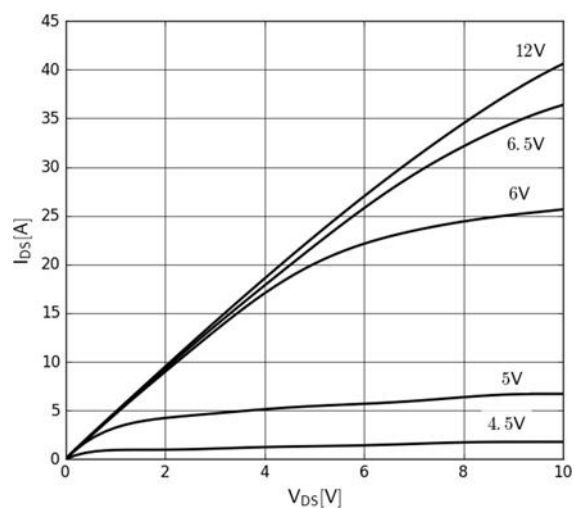


图2. 典型输出特性 $T_J=150^{\circ}\text{C}$

Parameter: V_{GS}

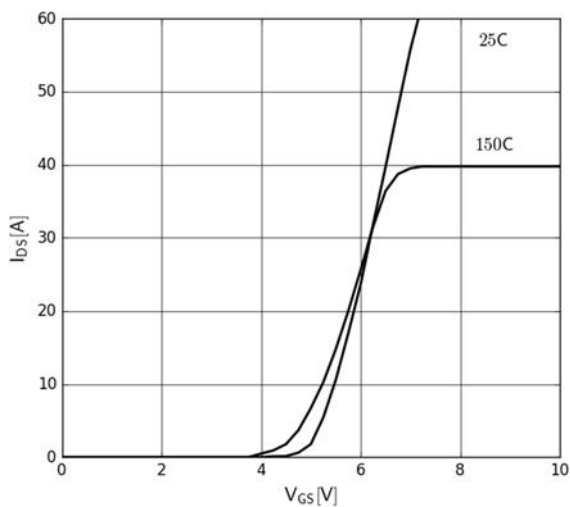


图3. 典型转移特性

$V_{DS}=10\text{V}$, parameter: T_J

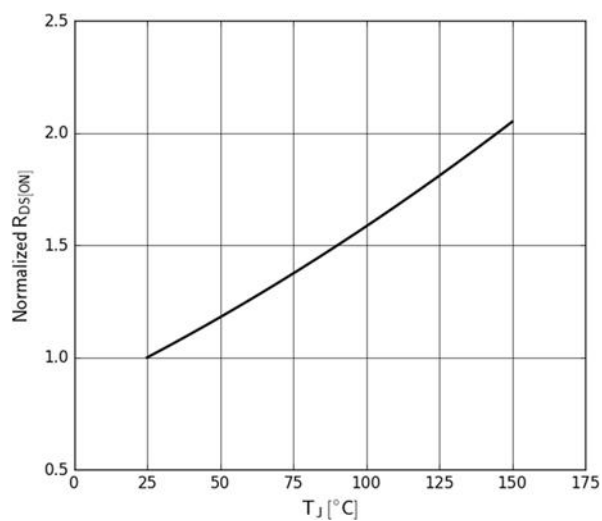


图 4. 归一化导通电阻

$I_D=16\text{A}$, $V_{GS}=10\text{V}$



典型特性 ($T_c=25^{\circ}\text{C}$ 除非另有说明)

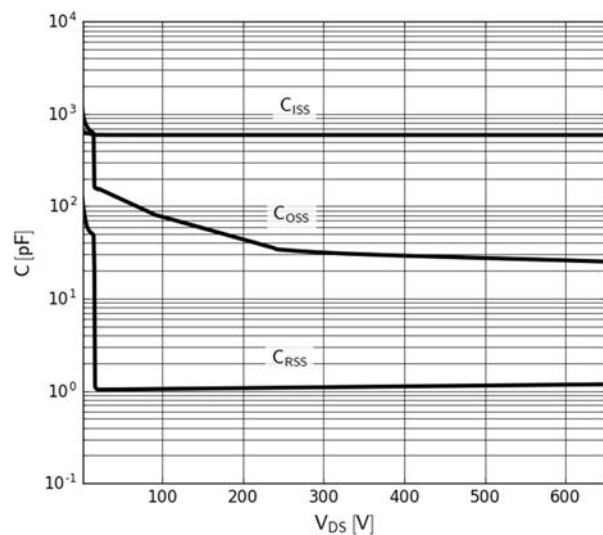


图 5. 典型电容
 $V_{GS}=0V$, $f=1\text{MHz}$

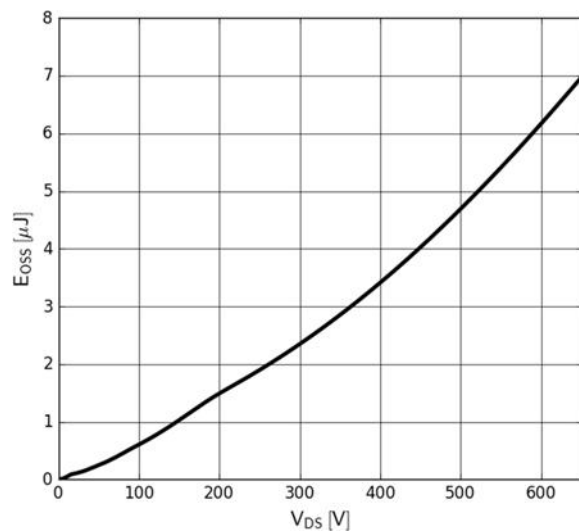


图 6. 典型 C_{oss} 储能

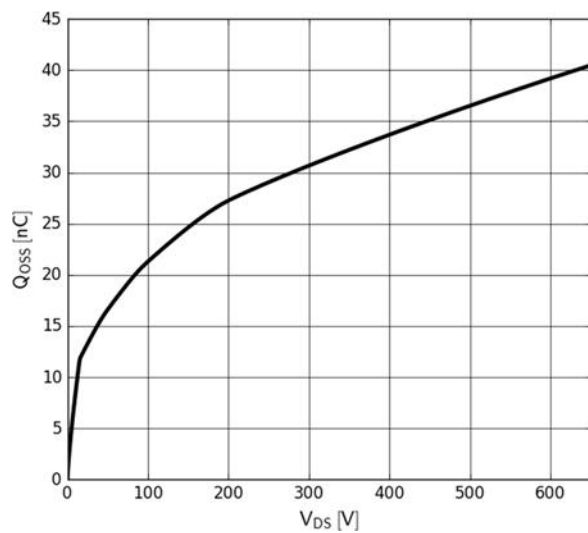


图7. 典型 Q_{oss}

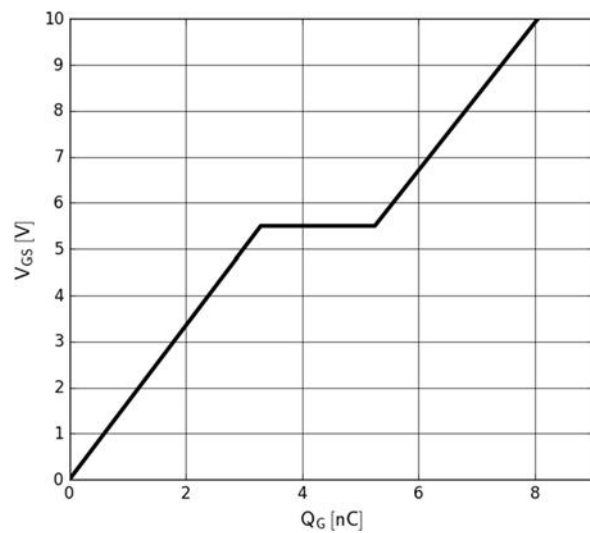


图 8. 典型栅极电荷
 $I_{DS}=10A$, $V_{DS}=400V$



典型特性 ($T_c=25^{\circ}\text{C}$ 除非另有说明)

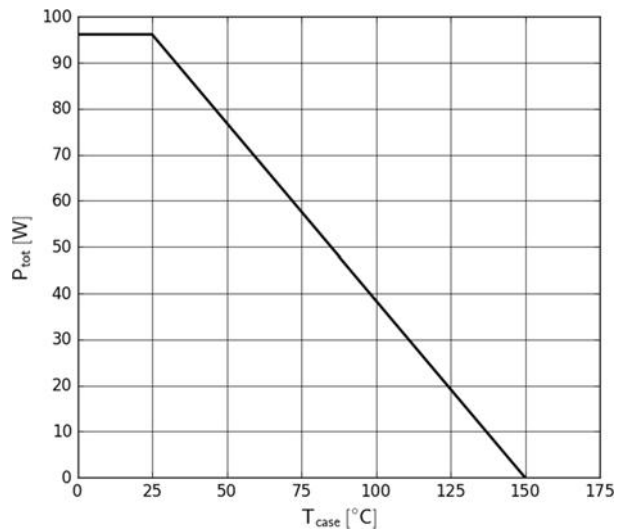


图9. 功耗

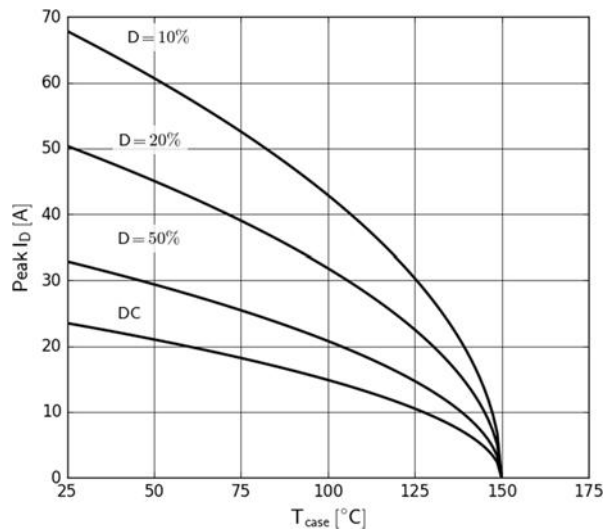


图10. 电流降额
Pulse width $\leq 10\mu\text{s}$, $V_{GS} \geq 10\text{V}$

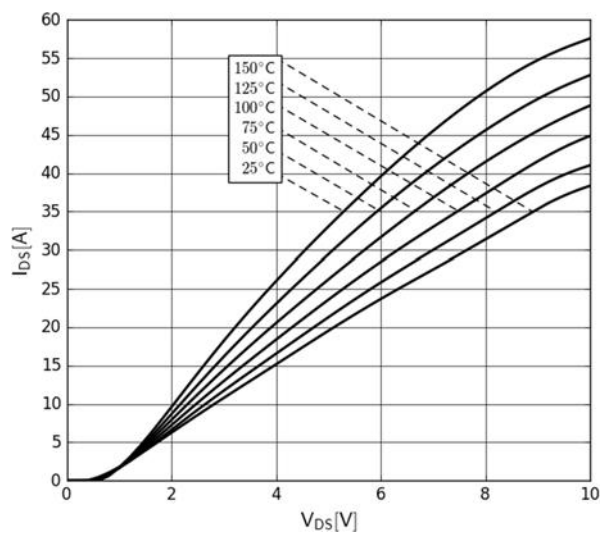


图11. 二极管正向特性
 $I_S=f(V_{SD})$, parameter: T_J

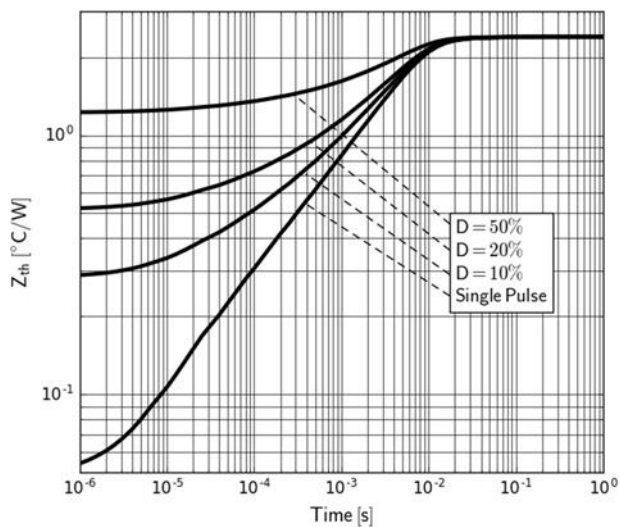


图12. 瞬间热阻



典型特性 ($T_c=25^{\circ}\text{C}$ 除非另有说明)

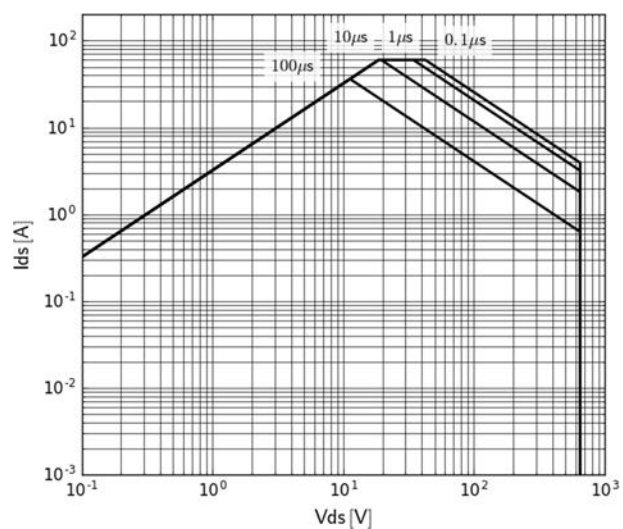


图 13. 安全工作区 $T_c=25^{\circ}\text{C}$



测试电路与波形

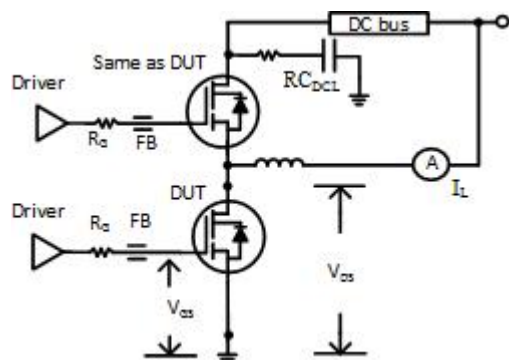


图14. 开关时间测试电路

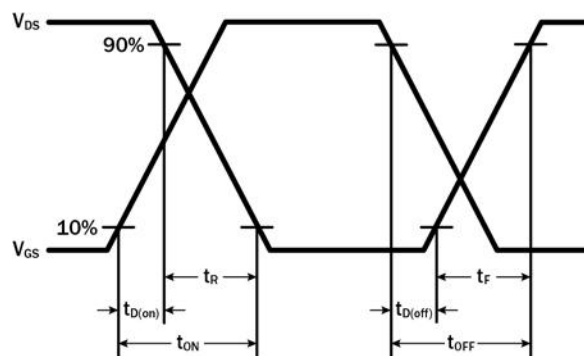


图 15. 开关时间与波形

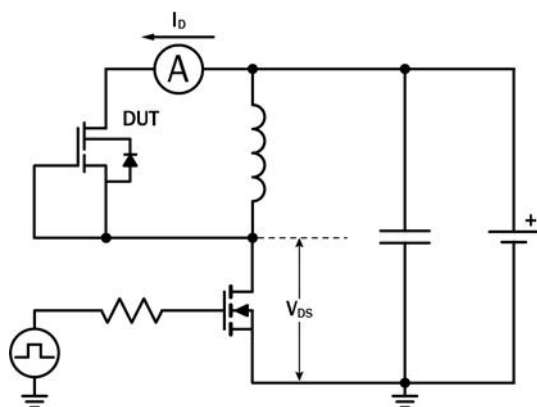


图16. 二极管测试电路

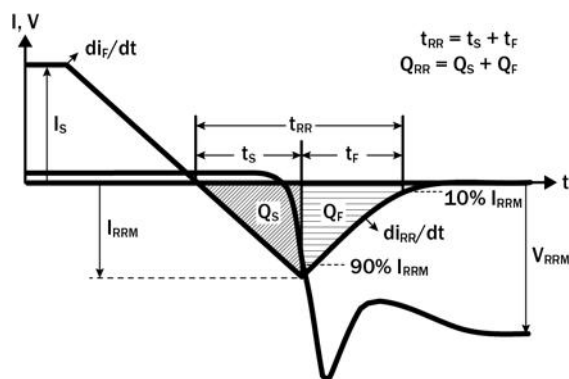


图17. 二极管恢复波形

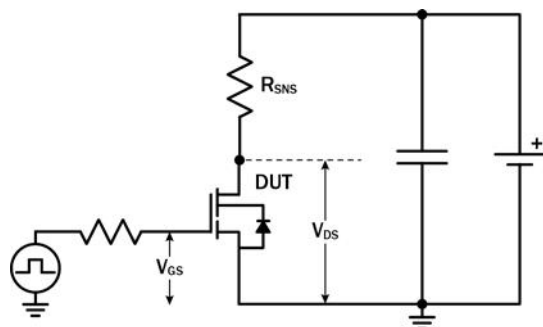


图18. 动态 $R_{DS(on)eff}$ 测试电路

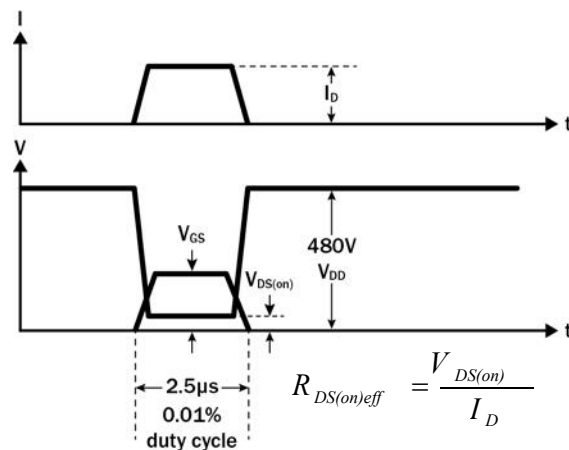


图19. 动态 $R_{DS(on)eff}$ 波形



设计注意事项

GaN器件的快速开关降低了电流-电压交叉损耗，可实现高频率操作，同时具有高效率。要充分利用GaN的快速开关特性，就需要遵守特定的PCB布局指南和探测技术。

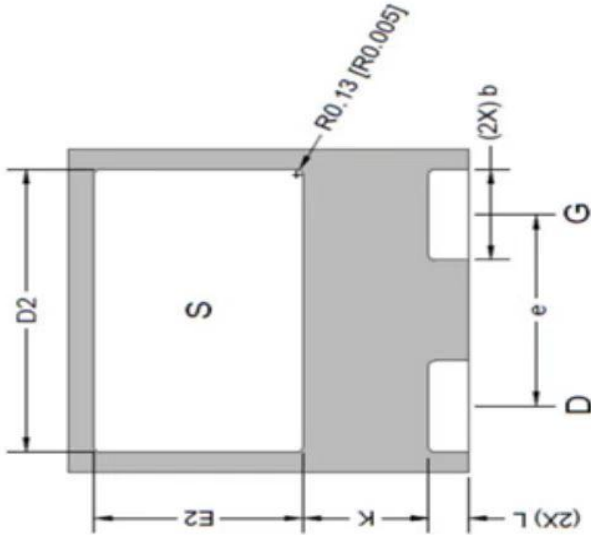
下表提供了在评估过程中需遵循的实际规则

评估GSR半导体GaN器件

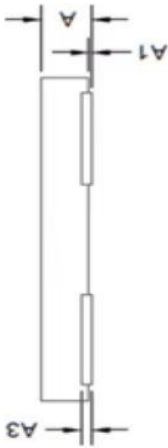
DO	DO NOT
通过驱动和电源环路中保持走线短，最大限度降低电路电感	扭转TO-220或TO-247的引脚，以适应GDS电路板布局
安装到PCB上时，将TO-220和TO-247封装引线长度降至最低	在驱动电路中使用长走线，器件的引线长度过长
使用最短检测环路进行探测；将探头及其接地连接直接连接至测试点	使用差模探头或带长线的探头接地夹



Mechanical



G: Gate
S: Source
D: Drain
Lead finish: Sn plating



DIM	mm			inch		
	MIN	NOM	MAX	MIN	NOM	MAX
A	0.90	1.00	1.10	0.035	0.039	0.043
A1	0.00	-	0.05	0.000	-	0.002
A3	0.20 REF.			0.007 BSC		
b	2.20	2.25	2.30	0.087	0.089	0.091
D	7.90	8.00	8.10	0.311	0.315	0.319
D2	6.85	7.00	7.15	0.270	0.276	0.281
E	7.90	8.00	8.00	0.311	0.315	0.315
e	4.75 BSC			0.187 BSC		
E2	4.03	4.18	4.33	0.159	0.165	0.170
K	2.50	-	-	0.098	-	-
L	0.70	0.80	0.90	0.028	0.031	0.035
PQFN 8mm x 8mm POD (GSR065D013A)						